ՀԱՅԱՍՑԱՆԻ ՀԱՆՐԱՊԵՏՈՐԹՅՈՆ ԳԻՏՈՐԹՅՈՒՆՆԵՐԻ ԱԶԳԱՅԻՆ ԱԿԱԴԵՄԻԱ

НАЦИОНАЛЬНАЯ АКАДЕМИЯ НАУК РЕСПУБЛИКИ АРМЕНИЯ NATIONAL ACADEMY OF SCIENCES OF THE REPUBLIC OF ARMENIA

Տայաստանի քիմիական հանդես

Химический журнал Армении 70, №3, 2017 Chemical Journal of Armenia

ОРГАНИЧЕСКАЯ И БИООРГАНИЧЕСКАЯ ХИМИЯ

УДК 547.787

СИНТЕЗ И ИЗУЧЕНИЕ АНТИРАДИКАЛЬНОЙ АКТИВНОСТИ ГИДРАЗИДОВ (Z)-N-БЕНЗОИЛ- α , β -ДЕГИДРОАМИНОКИСЛОТ

В. О. ТОПУЗЯН 1 , М. М. ХАЛАТЯН 1 , А. А. ОГАНЕСЯН 1 , Л. Х. ГАЛСТЯН 2 и А. Р. МАНВЕЛЯН 1

¹ Научно-технологический центр органической и фармацевтической химии НАН Республики Армения Армения, 0014, Ереван, пр. Азатутяна, 26
² Ереванский государственный университет Армения, 0025, Ереван, ул. А.Манукяна, 1 E-mail: vtop@web.am

Поступило 25 IV 2017

Осуществлен синтез гидразидов N-замещенных α , β -дегидроаминокислот взаимодействием ненасыщенных 5(4H)-оксазолонов с гидразингидратом. Изучены антирадикальные свойства синтезированных гидразидов их реакцией с 2,2'-дифенил-1-пикрилгидразилом (ДФПГ). Для всех гидразидов рассчитаны первичные скорости реакции и время полуингибирования радикала ДФПГ. Установлено, что производные N-замещенных α , β -дегидротирозинов проявляют сравнительно высокую ингибирующую активность по отношению к стабильному радикалу ДФПГ.

Рис.1, табл. 2, библ. ссылок 10.

Известно, что коричная кислота и ее производные (амиды, эфиры) как природного, так и синтетического происхождения проявляют антирадикалные свойства [1-5]. С другой стороны, α -аминокоричная кислота (α , β -дегидрофенилаланин) является полезным прекурсором для синтеза биологически активных соединений[6]. Однако в литературе отсутствуют данные по антирадикальным свойствам соединений, содержащих остатки α , β -дегидроаминокислот. В связи с этим нами взаимодействием ненасыщенных 5(4H)-оксазолонов (1-20) с гидразингидратом в метаноле или этаноле при комнатной температуре были получены целевые гидра-

зиды N-замещенных α , β -дегидрофенилаланинов и α , β -дегидротирозинов (21-40) с выходами, колеблющимися от 65 до 90%, а также исследованы их антирадикальные свойства.

Следует отметить, что, согласно физико-химическим исследованиям синтезированных соединений, реакции оксазолонов **4-6** с гидразингидратом сопровождаются двумя параллельно протекающими реакциями — раскрытием азлактонного цикла, приводящим к образованию гидразида, и расщеплением ацетильной группы, приведшим к образованию свободной гидрокисльной группы в боковой ароматической цепи α, β -дегидроаминокислотного остатка.

Ar—C O
$$H_2NNH_2$$
 R_2 R_1 O O $NHNH_2$ R_2 R_3 R_4 R_4 R_5 R_5 R_6 R_7 R_8 R_8 R_8 R_9 R_9

R = H; Me; Br; Cl. $R_1 = H$; Br; Cl. $R_2 = H$; NO₂.

 $A = C_6H_5; 4-MeOC_6H_4; 4-OHC_6H_4; 3-MeO-4-OHC_6H_3; 3-EtO-4-OHC_6H_3; 4-i-PrOC_6H_4; 3,4-CH_2O_2C_6H_3; 4-ClC_6H_4; 3-O_2NC_6H_4; C_4H_3O.$

В ИК-спектрах гидразидов N-бензоил-α,β-дегидротирозина (24), N-бензоил-3-метокси-α,β-дегидротирозина (25) и N-бензоил-3-этокси-α,β-дегидротирозина (26) отсутствуют полосы поглощений при 1751-1754*cм*⁻¹ (СО-эфирн.), в то время как они присутствуют в соответствующих ненасыщенных 5(4H)-оксазолонах 4-6. В ЯМР ¹H спектрах соединений 24-26 отсутствуют сигналы протонов ацетильной группы и наблюдаются синглетные сигналы фенольных водородных атомов при 8.73-9.39 м.д.

В ЯМР 1 Н спектрах гидразидов **21-40** синглетный сигнал водородного атома винильной группы проявляется при 7.12-7.25 м.д., что свидетельствует об их Z-конфигурации. Согласно данным ЯМР 1 Н спектра,

гидразид N-4-бромбензоил- β -стирил- α , β -дегидроаланина (33) является смесью двух стереоизомеров (1: 0.5).

Изучены антирадикальные свойства синтезированных гидразидов **21-40.** Исследования проводились с помощью их реакций со свободным стабильным радикалом — 2,2'-дифенил-1-пикрилгидразилом (ДФПГ $^{\bullet}$), в среде метанола при температуре 25° С и соотношении реагентов 1:1. Измерения проводились спектрофотометрическим методом [7]. Для количественной оценки антирадикальной активности (АРА%) использовали формулу 1:

$$APA\% = \frac{A_0 - A_1}{A_0} \times 100, \tag{1}$$

где A_0 — оптическая плотность раствора в отсутствие ингибитора; A_1 — оптическая плотность раствора на данный момент в присутствии ингибитора.

Таблица 1
Данные антирадикальных свойств гидразидов 21-40,
витамина С и галловой кислоты

	APA, %						$V_{\text{Hau.}}$	Т _{50%} , мин
	1 мин	5 мин	10 мин	20 мин	30 мин	40 мин	%, <i>c</i>	
21	17.9	47.6	60.9	70.3	73.4	74.4	0.28	5.75
22	5.4	20.4	35.3	52.8	62.8	68.9	0.09	18.25
23	6.8	22.3	36.4	53.7	64.2	69.5	0.11	17.50
24	31.0	63.6	75.8	82.0	83.2	84.0	0.52	3.25
25	91.0	91.0	91.0	91.0	_	ı	1.52	0.55***
26	90.0	90.7	90.7	90.7	_	ı	1.50	0.56***
27	14.2	42.0	55.4	65.8	70.8	73.1	0.24	7.55
28	6.1	20.7	36.3	55.2	64.7	70.0	0.10	17.0
29	5.8	18.3	30.2	46.1	56.9	63.9	0.10	23.5
30	9.8	36.6	52.2	68.5	75.0	77.0	0.16	9.3
31	11.7	37.9	55.3	70.9	75.7	77.7	0.19	8.0
32	21.2	53.2	68.3	76.4	79.0	79.0	0.35	4.5
33	35.4	67.9	75.9	80.0	86.4	86.7	0.59	2.7
34	22.1	56.9	68.9	72.3	72.3	72.3	0.37	4.2
35	8.6	28.0	43.9	60.0	67.6	71.7	0.14	13.5
36	12.0	30.6	45.3	60.7	67.9	71.2	0.20	12.0
37	7.5	26.3	41.1	58.9	67.8	72.3	0.13	15.0
38	7.9	27.0	42.6	59.7	65.2	70.8	0.13	14.5
39	7.5	26.9	42.9	60.5	68.9	73.6	0.13	14.4
40	27.6	69.4	80.8	82.3	82.3	82.3	0.46	3.1
41	0	0	0	0		_	-	
42	2	2	2	2	_	_	-	
VC*	93.5	93.5	93.5	93.5	-	_	1.57	0.53***
GA**	88.8	88.8	88.8	88.8	_	_	1.46	0.56***

 $^{^*}$ — витамин C; ** — галловая кислота; *** — максимальный % ингибирования достигается в течение 1 *мин*.

Рассчитаны также скорости реакций $\Delta\Phi\Pi\Gamma^{\bullet}$ с гидразидами в начальный момент (через 1 *мин*) времени. Величину скорости (Vнач.) для исследуемых реакций определяли как тангенс угла наклона начального прямолинейного участка кинетической кривой (формула 2). С помощью кинетических кривых было определено время ингибирования $\Delta\Phi\Pi\Gamma^{\bullet}$ на 50% ($\Gamma_{50\%}$) под действием соединений **21-40** (табл. 1).

$$V_{\text{Ha}} = \frac{\text{M1}}{60},\tag{2}$$

где U_1 — значение ингибирования ДФПГ ullet данным веществом через 1 мин.

Как видно из табл. 1, все синтезированные гидразиды N-замещенных α , β -дегидроаминокислот проявляют способность подавлять стабильный радикал ДФПГ. Из рассмотрения данных V_{Haq} . и $T_{50\%}$ гидразидов с различными α , β -дегидроаминокислотными остатками очевидно, что активность увеличивается в ряду О-метил- α , β -дегидротирозина (22, 0.09 и 18.25)<3,4-диоксиметилен- α , β -дегидрофенилаланина (23,0.11 и 17.5) <3-нитрофенилаланина (27, 0.24 и 7.55)< α , β -дегидрофенилаланина (21, 0.28 и 5.75)< α , β -дегидротирозина (24,0.52 и 3.25)<3-этокси- α , β -дегидротирозина (26,1.50 и 0.56)<3-метокси- α , β -дегидротирозина (25,1.52 и 0.55). Аналогичная картина наблюдается при переходе от гидразида 20 к гидразидам 4-бромбензоил- β -стирил- α , β -дегидроаланина (33, V_{Haq} . = 0.59% в c и $T_{50\%}$ = 2.7 mun) и 4-бромбензоил- β -фурил- α , β -дегидроаланина (34, V_{Haq} . = 0.37 % в c и $T_{50\%}$ = 4.2 mun).

При сравнении структурных особенностей гидразидов N-замещенных О-метил- α , β -дегидротирозинов (22, 28, 30, 35, 37) легко убедиться, что введение как электронодонорной (метилзамещенные соединения 22 и **28**), так и электроноакцепторной (Cl, Br, NO_2 -содержащие соединения 30, 35 и 37) групп в бензольное кольцо N-заместителя благоприятно влияют на величины $m V_{
m Hay}$ и $m T_{50\%}$ (табл. 1). Очевидно также, что введение алкоксигруппы в положение 3 бензольного кольца α,βдегидротирозинового остатка(сравнить данные соединений 25 и 26 с 24) стабильного способствует подавлению гидразидом значительно радикала ДФПГ°. Следует отметить также, что гидразиды 25 и 26 по величинам $m V_{
m hau.}$ и $m T_{
m 50\%}$ не уступают известным антиоксидантам витамину C и галловой кислоте.

Для сравнительно более активных гидразидов **25** и **26** были определены также $IC_{50\%}$, т.е. концентрации веществ, подавляющие $Д\Phi\Pi\Gamma^{\bullet}$ на 50% (табл. 2). Как видно из табл. 2, значения $IC_{50\%}$ соединений **25** и **26** близки к данным витамина C, но уступают значениям $IC_{50\%}$ галловой кислоты.

Соединение	r^2	IC _{50%} , µг мл ⁻¹
25	0.999	4.55
26	0.999	4.77
витамин С	0.986	3.90
галловая кислота	0.999	1.97

Обобщая результаты проведенных исследований, следует констатировать, что все исследуемые гидразиды **21-40** реагируют со свободным стабильным радикалом $\Delta \Phi \Pi \Gamma^{\bullet}$, и скорости реакций в случае различных гидразидов отличаются друг от друга. Очевидно, что исследуемый процесс протекает с отрывом от аминогруппы гидразида (GH) атома водорода, который превращает радикал $\Delta \Phi \Pi \Gamma^{\bullet}$ в 2,2'-дифенил-1-пикрилгидразин.

2,2'-дифенил-1-пикрилгидразил радикал

2,2'-дифенил-1-пикрилгидразин

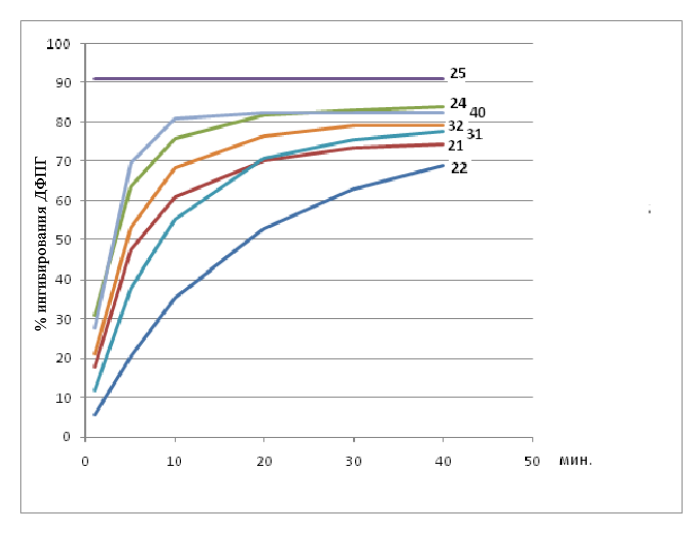


Рис. Кинетические кривые ингибирования радикала ДФПГ $^{\bullet}$ в реакциях с некоторыми гидразидами (**21,22,24,25,31,32** и **40**) N-замещенных α, β -дегидроаминокислот.

Обращает на себя внимание вид кинетических кривых расходования $\Delta \Phi \Pi \Gamma^{\bullet}$ в реакциях с гидразидами (некоторые кинетические кривые см. в рисунке). В большинстве случаев в начале реакции наблюдается резкое уменьшение количества $\Delta \Phi \Pi \Gamma^{\bullet}$, а затем в ходе реакции концентрация радикала медленно снижается. Этот факт, по-видимому, обусловлен образованием нового радикала (G \bullet), который по мере накопления проявляет конкурентность по отношению к $\Delta \Phi \Pi \Gamma^{\bullet}$.

Сравнительно высокие значения АРА гидразидов **24-26**, по данным как Vнач, так и по T_{50%}, вероятно, можно объяснить наличием гидроксильной группы в этих соединениях. В связи с этим можно предположить, что, если в гидразидах донором протона является аминогруппа гидразидного остатка исследуемого соединения, то в случае соединений **24-26** эту роль выполняет фенольная гидроксильная группа боковой цепи аминокислотного остатка. Такое предположение подтверждается как данными работы [1], где АРА производных гидроксикоричной кислоты объясняется наличием гидроксильной группы, так и нашими исследованиями АРА амида N-бензоил-α, β-дегидрофенилаланина (**41**) и фенилгидразона соединения **21** (**42**), согласно которым, они практически лишены этой активности (табл. 1).

$$NH_2$$
 NH_2
 NH_2

Таким образом, нами найден новый ряд соединений — гидразиды N-замещенных α , β -дегидроаминокислот, проявляющие антирадикальные свойства.

Экспериментальная часть

ИК-спектры сняты на спектрометре "Nicolet Avatar 330" в вазелиновом масле, спектры ЯМР 1 Н — на приборе "Varian Mercury-300" с рабочей частотой 300 $M\Gamma u$ в растворе ДМСО- d_6 , внутренний стандарт — ТМС. ТСХ проведена на пластинках "TLC Silica gel 60 F_{254} ", элюент — C_6H_6 :МеОН, 5:1 (A), C_6H_6 :МеОН, 5:2 (Б), проявитель — УФ-лучи и пары йода. Данные элементного анализа соответствуют численным значениям. Синтез исходных ненасыщенных 5(4H)-оксазолонов 1-20 проводился по [8], амида N-бензоил- α , β -дегидрофенилаланина (41) — по [9] и фенилгидразона 42 — по [10].

Общий способ синтеза гидразидов N-замещенных α,β-дегидроаминокислот 21-40. К смеси 0.01 моля 2-арил-4-арилиден-5(4H)-оксазолона в 10 мл метанола или этанола при перемешивании добавляют 0.02 моля 98% гидразингидрата и оставляют при комнатной температуре на 5 ч. Образовавшийся осадок отфильтровывают, промывают водой и сушат на воздухе. Перекристаллизацию проводят из этанола.

Гидразид N-бензоил- α ,β-дегидрофенилаланина (21). Выход 72.4%, т.пл. 163-165°C, $R_f(E)$ 0.68. ИК-спектр, ν , $c \omega^{-1}$: 1645 (CO-амидн.), 3246, 3295 (NH). Спектр ЯМР 1 H, δ , м. д.: 4.19 (2H, уш. c,NH₂); 7.17 (1H, уш. c,=CH); 7.20-7.33 (3H, м,C₆H₅); 7.41-7.56 (5H, м, C₆H₅) и 7.98-8.03 (2H, м, C₆H₅); 9.32 (1H, уш. c, NH); 9.67 (1H, уш. c, NH).

Гидразид N-бензоил-О-метил- α ,β-дегидротирозина (22). Выход 83.7%, т.пл. 160-162°C, R_f(A) 0.62. ИК-спектр, ν, $cм^{-1}$: 1642 (СО-амидн.), 3224, 3265 (NH). Спектр ЯМР 1 H, δ , м. д.: 3.77 (3H, c, OCH₃); 4.18 (2H, уш. c,NH₂); 6.80-6.85 (2H,м,C₆H₄);7.17 (1H, уш. c, =CH); 7.42-7.55 (5H, м, C₆H₅); 8.00-8.05 (2H,м,C₆H₄); 9.21 (1H, c, NH); 9.60 (1H, уш. c, NH).

Гидразид N-бензоил-3,4-диоксиметилен- α ,β-дегидрофенилаланина (23). Выход 65.0%, т.пл. 168-170°С, R_f (A) 0.65. ИК-спектр, ν , cw^{-1} : 1661 (СО-амидн.), 3305, 3410 (NH). Спектр ЯМР 1 H, δ , м. д., $\Gamma \mu$: 4.13 (2H, уш. с, NH₂); 5.96 (2H, c, OCH₂O); 6.77(1H, д, J = 8.1, C₆H₃); 7.03 (1H, дд, J = 8.1,1.7, C₆H₃); 7.12 (1H, д, J = 1.7, C₆H₃); 7.14 (1H, уш. с, =CH);7.42-7.55 (3H, м, C₆H₅); 7.99-8.04 (2H, м, C₆H₅); 9.26 (1H, уш. с, NH); 9.61 (1H, уш. с, NH).

Гидразид N-бензоил- α ,β-дегидротирозина (24). Выход 69.5%, т.пл. 224-227°С, R_f (Б) 0.57. ИК-спектр, ν , $c M^{-1}$: 1662 (СО-амидн.), 3279, 3319 (NH); 3405 (ОН). Спектр ЯМР 1 Н, δ , м. д.: 4.13 (2H, уш. c,NH₂); 6.67-6.71 (2H, м, C_6H_4); 7.13 (1H, уш. c, =CH); 7.35-7.40 (2H, м, C_6H_4); 7.42-7.55 (3H, м, C_6H_5); 8.00-8.05 (2H, м, C_6H_5); 9.12 (1H, уш. c,NH);9.39 (1H, уш. c,OH);9.55 (1H, уш. c,NH).

Гидразид N-бензоил-3-метокси- α ,β-дегидротирозина (25). Выход 68.0%, т.па. 210-213°C, R_f(B) 0.56. ИК-спектр, ν , $c M^{-1}$: 1662 (СО-амидн.), 3275, 3323 (NH). Спектр ЯМР 1 Н, δ , м. д., $\Gamma \psi$: 3.53 (3H, c, OCH₃); 4.17 (2H, уш.с, NH₂); 6.71 (1H, д, J=8.2, C₆H₃); 6.95 (1H, дд, J=8.2, 2.0, C₆H₃); 7,18 (1H, д, J=2.0, C₆H₃); 7.19 (1H, c, =CH); 7.42-7.54 (3H, м, C₆H₅); 8.05-8.10 (2H, м, C₆H₅); 8.81 (1H, уш.с, NH); 9.17 (1H, уш.с, NH); 9.61 (1H, c, OH).

Гидразид N-бензоил-3-этокси- α ,β-дегидротирозина (26). Выход 69.9%, т.пл. 226-228°C, R_f (Б) 0.71. ИК-спектр, ν, $cм^{-1}$: 1644 (СО-амидн.), 3317 (NH). Спектр ЯМР ¹H, δ , м. д., Γy : 1.18 (3H, т, J = 7.0, CH₃); 3.71 (2H, κ , J = 7.0, CH₂); 4.18 (2H, yiii. c,NH₂); 6.71 (1H, Δ , J = 8.1, C₆H₃); 6.93 (1H, Δ , J = 8.1, 1.9, C₆H₃); 7.16 (1H, Δ , J = 1.9, C₆H₃); 7.18 (1H, yiii. c, CH); 7.42-7.55 (3H, M, C₆H₅); 8.04-8.09 (2H, M, C₆H₅); 8.73 (1H, yiii. c, OH); 9.16 (1H, yiii. c, NH); 9.59 (1H, yiii. c, NH).

Гидразид N-бензоил-3-нитро-α,β-дегидрофенилаланина (27). Выход 90.0%, т.пл. 204-205°С, R_f (A) 0.54. ИК-спектр, v, $c \omega^{-l}$: 1643 (СО-амидн.),3262, 3333 (NH). Спектр ЯМР 1 H, δ , м. д., Γu : 4.26 (2H, уш. с, NH₂); 7.25 (1H, уш. c, = CH); 7.42-7.53 (3H, м, C_6H_5); 7.56 (1H, дд, J=8.2, 7.9, C_6H_4); 7.90 (1H, уш. д, J=7.9, C_6H_4); 7.95-8.00 (2H, м, C_6H_5); 8.07 (1H, дд, J=8.2, 2.3, 0.9, C_6H_4); 8.43 (1H, дд, J=2.3, 1.6, C_6H_4); 9.53 (1H, уш. c, NH); 9.83 (1H, уш. c, NH).

Гидразид N-4-метилбензоил-О-метил- α ,β-дегидротирозина (28). Выход 76.4%, т.пл. 223-225°C, R_f (A) 0.41. ИК-спектр, ν , $c M^{-1}$: 1632 (СО-амидн.), 3202,3313 (NH). Спектр ЯМР 1 H, δ , м. д.: 2.43 (3H, c,CH₃); 3.77 (3H, c,OCH₃); 4.18 (2H, уш. c,NH₂); 6.79-6.84 (2H,м,C₆H₄OCH₃);7.15(1H, уш. c,=CH); 7.23-7.27 (2H, м,C₆H₄CH₃); 7.46-7.50 (2H, м,C₆H₄OCH₃); 7.89-7.93 (2H, м, C₆H₄CH₃); 9.16 (1H, уш. c,NH); 9.49 (1H, уш. c,NH).

Гидразид N-2-бромбензоил- α ,β-дегидрофенилаланина (29). Выход 78.5%, т.пл. 225-227°C, R_f (Б) 0.78. ИК-спектр, ν, $c m^{-1}$: 1656 (СО-амидн.), 3215,3335 (NH). Спектр ЯМР 1 H, δ , м. д.: 4.23 (2H, уш. c, NH₂);7.13 (1H, уш. c, = CH); 7.24-7.45 (5H, м, C₆H₅); 7.59-7.65 (4H, м, C₆H₄); 9.12 (1H, уш. c, NH); 9.72 (1H, уш. c, NH).

Гидразид N-4-бромбензоил-О-метил- α ,β-дегидротирозина (30). Выход 84.7%, т.пл. 208-210°С, R_f (Б) 0.70. ИК-спектр, v, cм⁻¹: 1634 (СО-амидн.), 3220, 3355 (NH). Спектр ЯМР ¹H, δ, м. д.: 3.77 (3H, c, OCH₃); 4.18 (2H, уш. c, NH₂); 6.79-6.84 (2H, м, C₆H₄OMe); 7.19 (1H, уш. c, =CH); 7.44-7.49 (2H, м, C₆H₄OMe); 7.58-7.63 (2H, м, C₆H₄Br); 7.94-7.99 (2H, м, C₆H₄Br); 9.26 (1H, c, NH); 9.67 (1H, уш. c, NH).

Гидразид N-4-бромбензоил-3,4-диоксиметилен- α ,β-дегидрофенилаланина (31). Выход 86.2%, т.па. 128-130°С, R_f (Б) 0.48. ИК-спектр, v, cm⁻¹: 1659 (СО-амидн.), 3183,3292,3393 (NH). Спектр ЯМР ¹H, δ, м. д., Г μ : 4.19 (2H, уш. c, NH₂); 5.96 (2H, c, OCH₂); 6.76 (1H, д, J = 8.1, C₆H₃); 7.01 (1H, дд, J = 8.1, 1.7, C₆H₃); 7.08 (1H, д, J = 1.7, C₆H₃); 7.15 (1H, уш. c, CH); 7.58-7.63 (2H, м, C₆H₄); 7.93-7.98 (2H, м, C₆H₄); 9.31 (1H, уш. c, NH); 9.68 (1H, уш. c, NH).

Гидразид N-4-бромбензоил-4-хлор- α ,β-дегидрофенилаланина (32). Выход 86.9%, т.пл. 209-211°C, R_f (A) 0.83. ИК-спектр, ν , $c M^{-1}$: 1642 (CO-амидн.), 3169, 3250, 3291 (NH). Спектр ЯМР 1 H, δ , м. д.: 4.22 (2H, уш. c, NH₂); 7.17 (1H, уш. c, = CH); 7.25-7.30 (2H, м, C₆H₄Cl); 7.47-7.52 (2H, м, C₆H₄Cl);7.58-7.62 (2H, м, C₆H₄Br); 7.91-7.95 (2H, м, C₆H₄Br); 9.44 (1H, уш. c, NH);9.76 (1H, уш. c, NH).

Гидразид N-4-бромбензоилстирил- α ,β-дегидроаланина (33). Выход 73.5%, т.пл. 212-214°C, R_f (Б) 0.66. ИК-спектр, ν , $c M^{-1}$: 1637 (СО-амидн.), 3262,3333 (NH).

Гидразид N-4-бромбензоилфурил- α , β -дегидроаланина (34). Выход 65.1%, т.пл. 206-209°С, R_f (Б) 0.46. ИК-спектр, ν, $c m^{-1}$: 1677 (СО-амидн.), 3249,3314 (NH). Спектр ЯМР 1 Н, δ, м. д., Γu : 4.22 (2H, уш. c, NH₂);6.44 364

(1H, дд, J = 3.4, 1.8, C_4H_3O); 6.58 (1H, д, J = 3.4, C_4H_3O); 7.14 (1H, уш. c, = CH); 7.53 (1H, дд, J = 1.8, 0.7, C_4H_3O); 7.60-7.64 (2H, м, C_6H_4Br); 7.96-8.00 (2H, м, C_6H_4Br); 9.35 (1H, уш. c, NH); 9.60 (1H, уш. c, NH).

Гидразид N-2-хлорбензоил-О-метил- α ,β-дегидротирозина (35). Выход 81.4%, т.пл. 176-178°C, R_f (Б) 0.80. ИК-спектр, ν , $c M^{-1}$: 1661 (СО-амидн.), 3224, 3294 (NH). Спектр ЯМР 1 H, δ , м. д.: 3.81 (3H, c, OCH₃);4.23 (2H, уш. c, NH₂);6.85-6.90 (2H, м, C₆H₄OMe); 7.14 (1H, уш. c, = CH);7.36-7.47 (3H, м, C₆H₄Cl);7.55-7.60 (2H, м, C₆H₄OMe);7.66-7.70 (1H, м, C₆H₄Cl); 9.00 (1H, уш. c,NH);9.61 (1H, уш. c,NH).

Гидразид N-2-хлорбензоил-3,4-диоксиметилен- α , β -дегидрофенилаланина (36). Выход 90.0%, т.пл. 203-204°С, R_f (A) 0.70. ИК-спектр, ν , $c M^{-1}$: 1670 (СО-амидн.), 3172,3228,3324 (NH). Спектр ЯМР 1 Н, δ , м. Δ ., $\Gamma \mu$: 4.20 (2H, уш. c, NH₂); 6.00 (2H, c, OCH₂); 6.80 (1H, Δ , J = 8.1, C_6H_3); 7.06 (1H, Δ , J = 8.2, 1.7, C_6H_3); 7.08 (1H, уш. c, =CH); 7.26 (1H, Δ , J = 1.7, C_6H_3); 7.35-7.46 (3H, м, C_6H_4); 7.64-7.68 (1H, м, C_6H_4); 9.03 (1H, c, NH); 9.61 (1H, уш. c, NH).

Гидразид N-2,4-дихлорбензоил-О-метил- α ,β-дегидротирозина (37). Выход 82.5%, т.пл. 119-121°С, R_f (A) 0.38. ИК-спектр, ν , $c M^{-1}$: 1670 (СО-амидн.), 3187,3275,3321 (NH). Спектр ЯМР ¹H, δ , м. д., $\Gamma \mu$: 3.81 (3H, c, OCH₃); 4.20 (2H, уш. c, NH₂); 6.84-6.89 (2H, м, C₆H₄); 7.12 (1H, c, = CH);7.40 (1H, дд, J = 8.3, 1.9,C₆H₃); 7.48 (1H, д, J = 1.9, C₆H₃); 7.52-7.57 (2H, м, C₆H₄); 7.74 (1H, д, J = 8.3, C₆H₃); 9.10 (1H, уш. c, NH); 9.67 (1H, уш. c, NH).

Гидразид N-3-нитробензоил- α ,β-дегидрофенилаланина (38). Выход 87.6%, т.па. 207-209°C, R_f (A) 0.36. ИК-спектр, ν , $c \omega^{-l}$: 1643 (СО-амидн.), 3307, 3336 (NH). Спектр ЯМР 1 H, δ , м. д., Γu : 4.22 (2H, уш. c, NH₂);7.22-7.33 (3H, м, C₆H₅); 7.24 (1H, уш. c, = CH); 7.50-7.55 (2H, м, C₆H₅); 7.73 (1H, т,J = 8.0, C₆H₄); 8.35-8.41 (2H, м, C₆H₄);8.93 (1H, уш. c, C₆H₄); 9.49 (1H, уш. c, NH);10.12 (1H, уш. c, NH).

Гидразид N-3-нитробензоил-О-изопропил- α ,β-дегидротирозина (39). Выход 84.1%, т.пл. 214-216°С, R_f (A) 0.55. ИК-спектр, v, cм⁻¹: 1640(СО-амидн.), 3270,3328 (NH). Спектр ЯМР ¹H,δ, м. д., Г ψ : 1.29 (6H, д, J = 6.0, CH₃);4.21 (2H, уш. c,NH₂); 4.56 (1H, сеп., J = 6.0, OCH);6.75-6.80 (2H, м,C₆H₄);7.22 (1H, c,=CH); 7.43-7.48 (2H, м,C₆H₄);7.74 (1H, дд, J = 8.2, 7.8, C₆H₄NO₂);8.37 (1H, ддд, J = 8.2, 2.3, 1.0, C₆H₄NO₂);8.42 (1H, уш. д, J = 7.8, C₆H₄NO₂); 8.95 (1H, дд, J = 2.3, 1.2, C₆H₄NO₂);9.38 (1H, уш. с, NH);10.03 (1H, уш. c,NH).

Гидразид N-3-нитробензоил-3-нитро- α ,β-дегидрофенилаланина (40). Выход 75.4%, т.па. 203-204°С, R_f (A) 0.42. ИК-спектр, ν , $c \omega^{-1}$: 1649 (СО-амидн.), 3184, 3310 (NH). Спектр ЯМР 1 Н,δ, м. д., $\Gamma \psi$: 4.31 (2H, уш. с,NH₂); 7.36 (1H, уш. с, = CH); 7.56 (1H, дд, J = 8.2, 7.8, C₆H₄NO₂); 7.75 (1H, т, J = 8.0, C₆H₄NO₂); 7.90 (1H, уш. д, J = 7.8, C₆H₄NO₂); 8.08 (1H, дд, J = 8.2, 2.3, 1.0, C₆H₄NO₂); 8.35-8.42 (3H, м, C₆H₄NO₂); 8.89 (1H, дд, J = 2.3, 1.5, C₆H₄NO₂); 9.67 (1H, уш. с, NH); 10.25 (1H, уш. с, NH).

Определение антирадикалных свойств. Кинетику взаимодействия гидразидов **21-40** и соединений **41**, **42**, а также витамина C и галловой кислоты с $\Delta\Phi\Pi\Gamma^{\bullet}$ при 25°C исследовали спектрофотометрически на спектрофотометре "Specord UV-VIS"(Германия) по изменению оптической плотности $\Delta\Phi\Pi\Gamma^{\bullet}$ во времени при 520 μ . Исходные концентрации $\Delta\Phi\Pi\Gamma^{\bullet}-0.0255\times10^{-5}$ моль/л, соединений **21-42** – 1.25×10^{-5} моль/л.

К 2.0~m раствора $\Delta\Phi\Pi\Gamma^{\bullet}$ в абсолютном метаноле добавляли 0.04~m метанольного раствора исследуемого вещества и после перемешивания измеряли оптическую плотность смеси от 1 до 40~mи.

Определение значений $IC_{50\%}$ осуществляли вышеуказанным методом варьированием соотношения $\Delta\Phi\Pi\Gamma^{\bullet}$ -исследуемые соединения от 1:1 до 1:0.025. При этом использованы данные измерений через 10 *мин* после приготовления смеси.

(Z)-N-ՔԵՆԶՈՒԼ-α,β-ԴԵՎԻԴՐՈԱՄԻՆ ԱԳՅԻՎԻՐԻ ՀԻԴՐԱԶԻԴՆԵՐԻ ՄԻՆԹԵԶՆ ՈՒ ՀԱԿԱԴԻԿԱԱՄԻՆ ԱԿՏԻՎՈՒՅՅՈՒՆ ՈՒՍՈՒՄՆՍՍՄՄ ԴՈՒԵԹՅՈՒՆԸ

Վ. Օ. ԹՈՓՈՐԶՅԱՆ, Մ. Մ. ԽԱԼԱԹՅԱՆ, Ա. Ա. ՏՈՎՏԱՆՆԻՍՅԱՆ, Լ. Խ. ԳԱԼՍՏՅԱՆ և Ա. Ռ. ՄԱՆՎԵԼՅԱՆ

ՉՀադեցած 5(4H)-օքսազոլոնների և ՀիդրագինՀիդրատի փոխազդեցությամբ իրականացվել է N-տեղակալված α,β-դեՀիդրոամինաթթեուների Հիդրագիդների սինթեդը։ Ուսումնասիրվել է վերջինների Հակառադիկալային ակտիվությունը նրանց փոխազդեցությամբ դիֆենիլ-1-պիկրիլՀիդրագիլ կայուն ռադիկալի (ԴՖՊՀ) Հետ։ Բոլոր սինթեդը ված Հիդրագիդների Համար Հաչվարկվել են ռեակցիայի առաջնային արադություններն ու ռադիկալի կիստարդելակման ժամանակը։ Պարդվել է, որ N-տեղակալված α,β-դեՀիդ-ըոտիրոդինի ածանցյալները ցուցաբերում են Համեմատաբար բարձր արդելակիչ Հատկություն ԴՖՊՀ-ի Հանդեպ։

SYNTHESIS AND STUDY OF ANTIRADICAL ACTIVITY OF HYDRAZIDES OF (Z)-N-BENZOYL- α,β -DEHYDROAMINO ACIDS

V. O. TOPUZYAN¹, M. M. KHALATYAN¹, A. A. HOVHANNISYAN¹, L. Kh. GALSTYAN² and A. R. MANVELYAN¹

¹The Scientific Technological Center of Organic and Pharmaceutical Chemistry NAS RA 26, Azatutyan Str., Yerevan, 0014, Armenia ²Yerevan State University 1, A. Manoukyan Str., Yerevan, 0025, Armenia E-mail: vtop@web.am

A series of corresponding hydrazides of N-substituted α,β -dehydroamino acids have been obtained by interaction of unsaturated 5(4H)-oxazolones and hydrazine hydrate. The antiradical activity of the hydrazides of N-substituted α,β -dehydroamino acids has been investigated by their interaction with 2,2-diphenyl-1-picrylhydrazyde

stable radical (DPPH). The primary velocity of the reaction and the time of the semi–deceleration of the radical have been computed for all synthesized hydrazides. IC $_{50}$ was determined for relatively active hydrazides – N-benzoyl-3-methoxy- α , β -dehydrotyrosine and N-benzoyl -3-ethoxy- α , β -dehydrotyrosine. IC $_{50}$ is the concentration of a substance at which 50% of DPPH is inhibited. According to our findings, IC $_{50}$ of these two hydrazides are sufficiently close to the IC $_{50}$ of Vitamin C, while they are less than the IC $_{50}$ of gallic acid. It is also considered that the donor of the proton is amino group of the hydrazide residue.

ЛИТЕРАТУРА

- [1] *Машенцева А.А., Сейтенбетов Т.С.* // Журнал сибирского федерального университета. Сер. хим., 2010, т. 3, №2, с. 183.
- [2 Karamac M., Kosinska A., Pegg R.B. // Polish Journal of Food and Nutrition Sciences, 2005, v. 14, №2, p. 165.
- [3] Velez-Gonzalez F., Ortegon –Reyna D., Ramos-Organillo A.A. // Arkivoc, 2008, p. 55.
- [4] Агаджанян В.С., Оганесян Э.Т., Абаев В.Т. // Хим.-фарм.ж., 2010, т. 44, №7, с. 21.
- [5] Wei Q.Y., Jiang H., Zhang J.X. // Med. Chem. Res., 2012, v. 21, p. 1905.
- [6] Топузян В.О. // Хим. ж. Армении, 2007, т.60, №4, с.731.
- [7] Alonso A.M., Domiangue Z.C., Guillean D., Barroso C.B. // J. Agric. Food Chem., 2002, v.50, p.3112.
- [8] Топузян В.О., Тосунян С.Р. // Хим. ж. Армении, 2012, т. 65, №3, с. 369.
- [9] Топузян В.О., Арутюнян Л.Г., Оганесян А.А. // ЖОрХ, 2007, т. 43, вып. 6, с. 870.
- [10] Топузян В.О., Арутюнян Л.Г., Оганесян А.А., Паносян Г. // ЖОрХ, 2008, т. 44, вып. 3, с. 474.